



**AKADEMIA GÓRNICZO-HUTNICZA IM. STANISŁAWA STASZICA W KRAKOWIE**  
**WYDZIAŁ GEOLOGII, GEOFIZYKI I OCHRONY ŚRODOWISKA**

## Ćwiczenie 10

### Porównanie wydajności złączeń i zagnieżdżeń

Autor: *Zofia Fabrowska (416440)*  
Kierunek studiów: Geoinformatyka

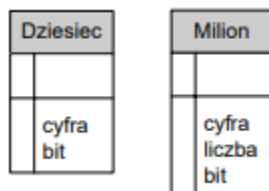
Kraków, 3 czerwca 2024

## Spis treści

|   |    |
|---|----|
| Rozdział 1. Cel ćwiczenia.....  | 3  |
| Rozdział 2. Konfiguracja sprzętowa .....                                | 4  |
| Rozdział 3. Metody.....   | 5  |
| Podrozdział 3.1. Wykonane ćwiczenie w SQL Server Management Studio..... | 5  |
| Podrozdział 3.2. Wykonane ćwiczenie w PostgreSQL.....                   | 7  |
| Rozdział 4. Wyniki .....  | 9  |
| Rozdział 5. Wnioski.....  | 10 |
| Rozdział 6. Literatura.....   | 11 |
| Rozdział 7. Spis tabeli i wykresów .....                                | 11 |

## Rozdział 1. Cel ćwiczenia

Celem ćwiczenia jest zbadanie wydajności złączeń i zagnieżdżeń poprzez odtworzenie eksperymentu naukowego<sup>1</sup>. Postanowiono dokonać analizy poprzez stworzenie odpowiedniej bazy danych oraz użycie indeksów oraz braku ich wykorzystania. Ćwiczenie przeprowadzono używając języka SQL w SQL Server Management Studio oraz PostgreSQL w pgAdmin. Wykorzystano tabelę zawierającą milion wpisów (Wykres 1), tabelę zawierającą dane geochronologiczne w wersji znormalizowanej (Wykres 2) oraz zdenormalizowanej (Wykres 4).



Wykres 1. Schemat tabeli zawierającej milion rekordów (Milion) oraz tabeli pomocniczej (Dziesiec).

| Tabela geochronologiczna |            |           |             |            |
|--------------------------|------------|-----------|-------------|------------|
| Wiek (mln lat)           | Eon        | Era       | Okres       | Epoka      |
| 0,010                    | FANEROZOIK | Kenozoik  | Czwartorząd | Holocen    |
| 1.8                      |            |           |             | Plejstocen |
| 22,5                     |            |           | Trzeciorząd | Pliocen    |
| 65                       |            |           |             | Miocen     |
|                          |            |           |             | Oligocen   |
|                          |            |           |             | Eocen      |
| 140                      |            | Mezozoik  | Kreda       | Paleocen   |
| 195                      |            |           |             | Górna      |
|                          |            |           | 230         | Jura       |
| Górna                    |            |           |             |            |
| Trias                    |            |           |             | Środkowa   |
|                          |            |           |             | Dolna      |
| 280                      |            | Paleozoik | Perm        | Górna      |
| 345                      |            |           |             | Dolny      |
|                          |            |           | Karbon      | Górny      |
| Dolny                    |            |           |             |            |
| 395                      |            |           | Dewon       | Górny      |
|                          |            |           |             | Środkowy   |
|                          |            |           | Dolny       |            |

Wykres 2. Schemat tabeli geochronologicznej. Pominięto tu kolumnę „Pietro” ze względu na jej obszerność.



Wykres 3. Schemat znormalizowanej tabeli geochronologicznej.

| GeoTabela |              |
|-----------|--------------|
| PK        | id_pietro    |
|           | nazwa_pietro |
|           | id_epoka     |
|           | nazwa_epoka  |
|           | id_okres     |
|           | nazwa_okres  |
|           | id_era       |
|           | nazwa_era    |
|           | id_eon       |
|           | nazwa_eon    |

Wykres 4. Schemat zdenormalizowanej tabeli geochronologicznej

<sup>1</sup> Jajeńska Ł, Piórkowski A. Wydajność złączeń i zagnieżdżeń dla schematów znormalizowanych i zdenormalizowanych. (2010).

## **Rozdział 2. Konfiguracja sprzętowa**

Testy zostały przeprowadzone na komputerze o następujących parametrach:

- CPU: Intel(R) Core(TM) i5-8265U CPU @ 1.60GHz
- RAM: 8,00 GB
- SSD: Transcend 512GB M.2 2242 PCIe NVMe 400S
- Typ systemu: 64-bitowy system operacyjny, procesor x64
- System operacyjny: Windows 10 Home

Jako systemy zarządzania bazami danych wybrano:

- SQL Server Management Studio 20.0.70.0
- pgAdmin 4

Aby upewnić się o wiarygodności uzyskanych wyników, ćwiczenie przeprowadzono pięciokrotnie dla każdego zapytania.

## Rozdział 3. Metody

### Podrozdział 3.1. Wykonane ćwiczenie w SQL Server Management Studio

Na początku utworzono odpowiednią bazę danych i tabele. W tym celu posłużono się kodem:

```
CREATE DATABASE geochronologia;

USE geochronologia;

CREATE SCHEMA geo;

CREATE TABLE geo.GeoEon(
    id_eon INT PRIMARY KEY,
    nazwa_eon VARCHAR(30)
);

CREATE TABLE geo.GeoEra(
    id_era INT PRIMARY KEY,
    nazwa_era VARCHAR(30),
    id_eon INT
);

CREATE TABLE geo.GeoOkres(
    id_okres INT PRIMARY KEY,
    nazwa_okres VARCHAR(30),
    id_era INT
);

CREATE TABLE geo.GeoEpoka(
    id_epoka INT PRIMARY KEY,
    nazwa_epoka VARCHAR(30),
    id_okres INT
);

CREATE TABLE geo.GeoPietro(
    id_pietro INT PRIMARY KEY,
    nazwa_pietro VARCHAR(30),
    id_epoka INT
);

ALTER TABLE geo.GeoEra ADD FOREIGN KEY (id_eon) REFERENCES geo.GeoEon(id_eon);
ALTER TABLE geo.GeoOkres ADD FOREIGN KEY (id_era) REFERENCES geo.GeoEra(id_era);
ALTER TABLE geo.GeoEpoka ADD FOREIGN KEY (id_okres) REFERENCES geo.GeoOkres(id_okres);
ALTER TABLE geo.GeoPietro ADD FOREIGN KEY (id_epoka) REFERENCES geo.GeoEpoka(id_epoka);

-- wartosci eon
INSERT INTO geo.GeoEon VALUES(1, 'Fanerozoik');
SELECT * FROM geo.GeoEon;

-- wartosci era
INSERT INTO geo.GeoEra VALUES(1, 'Paleozoik', 1);
INSERT INTO geo.GeoEra VALUES(2, 'Mezozoik', 1);
INSERT INTO geo.GeoEra VALUES(3, 'Kenozoik', 1);
SELECT * FROM geo.GeoEra;

-- wartosci okres
INSERT INTO geo.GeoOkres VALUES(1, 'Dewon', 1);
INSERT INTO geo.GeoOkres VALUES(2, 'Karbon', 1);
INSERT INTO geo.GeoOkres VALUES(3, 'Perm', 1);
INSERT INTO geo.GeoOkres VALUES(4, 'Trias', 2);
INSERT INTO geo.GeoOkres VALUES(5, 'Jura', 2);
INSERT INTO geo.GeoOkres VALUES(6, 'Kreda', 2);
INSERT INTO geo.GeoOkres VALUES(7, 'Trzeciorząd - Palogen', 3);
INSERT INTO geo.GeoOkres VALUES(8, 'Trzeciorząd - Neogen', 3);
INSERT INTO geo.GeoOkres VALUES(9, 'Czwartorząd', 3);
SELECT * FROM geo.GeoOkres;
```

W każdej tabeli ustawiono klucz główny oraz dodano klucze obce. Poszczególne tabele wypełniono rekordami zgodnie ze wzorem powyżej (oraz analogicznie dla wartości-epoka, wartości-piętro). Utworzono również tabelę zdenormalizowaną (za pomocą złączeń tabeli znormalizowanej), tabelę pomocniczą *Dziesiec* oraz tabelę *Milion*:

```
--tabela zdenormalizowana
SELECT p.id_pietro, p.nazwa_pietro, ep.id_epoka,
ep.nazwa_epoka, o.id_okres, o.nazwa_okres, er.id_era,
er.nazwa_era, eo.id_eon, eo.nazwa_eon
INTO GeoTabela
FROM geo.GeoPietro p
JOIN geo.GeoEpoka ep ON ep.id_epoka = p.id_epoka
JOIN geo.GeoOkres o ON o.id_okres = ep.id_okres
JOIN geo.GeoEra er ON er.id_era = o.id_era
JOIN geo.GeoEon eo ON eo.id_eon = er.id_eon;
ALTER TABLE GeoTabela ADD PRIMARY KEY (id_pietro);
SELECT * FROM GeoTabela;

--tabela dziesiec
CREATE TABLE Dziesiec(
    cyfra INT,
    bit INT
);

INSERT INTO Dziesiec VALUES(0,1);
INSERT INTO Dziesiec VALUES(1,1);
INSERT INTO Dziesiec VALUES(2,1);
INSERT INTO Dziesiec VALUES(3,1);
INSERT INTO Dziesiec VALUES(4,1);
INSERT INTO Dziesiec VALUES(5,1);
INSERT INTO Dziesiec VALUES(6,1);
INSERT INTO Dziesiec VALUES(7,1);
INSERT INTO Dziesiec VALUES(8,1);
INSERT INTO Dziesiec VALUES(9,1);
SELECT * FROM Dziesiec;

--tabela milion
CREATE TABLE Milion(
    liczba INT,
    cyfra INT,
    bit INT
);

INSERT INTO Milion
SELECT a1.cyfra +10* a2.cyfra +100*a3.cyfra + 1000*a4.cyfra + 10000*a5.cyfra + 100000*a6.cyfra , a1.cyfra AS cyfra, a1.bit AS bit
FROM Dziesiec a1, Dziesiec a2, Dziesiec a3, Dziesiec a4, Dziesiec a5, Dziesiec a6;
SELECT * FROM Milion;
```

Następnie przeprowadzono testy wydajności. Były to odpowiednio:

- **Zapytanie 1 (1 ZL)** polegające na złączeniu tablicy Milion z tabelą geochronologiczną zdenormalizowaną. Do warunku złączenia dodano operację modulo dopasowującą zakresy wartości złączanych kolumn.

Posłużył do tego kod przedstawiony poniżej. Polecenia **SET STATISTICS TIME ON** oraz **SET STATISTICS TIME OFF** umożliwiły znalezienie czasu wykonania zapytania (*elapsed time*).

```
-- 1 ZL
SET STATISTICS TIME ON
SELECT COUNT(*)
FROM Milion
INNER JOIN GeoTabela
ON (Milion.liczba % 68 = GeoTabela.id_pietro);
SET STATISTICS TIME OFF
```

- **Zapytanie 2 (2 ZL)** polegające na złączeniu tablicy Milion z tabelą geochronologiczną znormalizowaną.

Zapytanie wykonano posługując się kodem:

```
-- 2 ZL
SET STATISTICS TIME ON
SELECT COUNT(*) FROM Milion
INNER JOIN geo.GeoPietro ON (Milion.liczba % 68=GeoPietro.id_pietro)
INNER JOIN geo.GeoEpoka ON GeoPietro.id_epoka=GeoEpoka.id_epoka
INNER JOIN geo.GeoOkres ON GeoEpoka.id_okres= GeoOkres.id_okres
INNER JOIN geo.GeoEra ON GeoEra.id_era=GeoOkres.id_era
INNER JOIN geo.GeoEon ON GeoEon.id_eon=GeoEra.id_eon
SET STATISTICS TIME OFF
```

- **Zapytanie 3 (3 ZG)** polegające na złączeniu tablicy Milion z tabelą geochronologiczną zdenormalizowaną. Złączenie jest wykonywane poprzez zagnieżdżenie skorelowane.

Zapytanie wykonano posługując się kodem:

```
-- 3 ZG
SET STATISTICS TIME ON
SELECT COUNT(*)
FROM Milion
WHERE Milion.liczba % 68 =
(SELECT id_pietro FROM GeoTabela WHERE Milion.liczba % 68 = id_pietro);
SET STATISTICS TIME OFF
```

- **Zapytanie 4 (4 ZG)** polegające na złączeniu tablicy Milion z tabelą geochronologiczną znormalizowaną. Złączenie jest wykonywane poprzez zagnieżdżenie skorelowane, a zapytanie wewnętrzne jest złączeniem tabel poszczególnych jednostek geochronologicznych.

Zapytanie wykonano posługując się kodem:

```
-- 4 ZG
SET STATISTICS TIME ON
SELECT COUNT(*)
FROM Milion
WHERE Milion.liczba % 68 IN
(SELECT geo.GeoPietro.id_pietro FROM geo.GeoPietro
INNER JOIN geo.GeoEpoka ON GeoPietro.id_epoka = GeoEpoka.id_epoka
INNER JOIN geo.GeoOkres ON GeoEpoka.id_okres = GeoOkres.id_okres
INNER JOIN geo.GeoEra ON GeoOkres.id_era = GeoEra.id_era
INNER JOIN geo.GeoEon ON GeoEra.id_eon = GeoEon.id_eon);
SET STATISTICS TIME OFF
```

Każde zapytanie wykonano pięciokrotnie, a następnie znaleziono średni czas obliczeń oraz jego minimalną wartość.

Na koniec wykonano te same testy wydajności, ale po nałożeniu indeksowania na dane:

```
-- indeksy
CREATE INDEX idxEon ON geo.GeoEon(id_eon);
CREATE INDEX idxEra ON geo.GeoEra(id_era, id_eon);
CREATE INDEX idxOkres ON geo.GeoOkres(id_okres, id_era);
CREATE INDEX idxEpoka ON geo.GeoEpoka(id_epoka, id_okres);
CREATE INDEX idxPietro ON geo.GeoPietro(id_pietro, id_epoka);
CREATE INDEX idxLiczba ON Milion(liczba);
CREATE INDEX idxGeoTabela ON GeoTabela(id_pietro, id_epoka, id_era, id_okres, id_eon);
```

### Podrozdział 3.2. Wykonane ćwiczenie w PostgreSQL

Ćwiczenie wykonano analogicznie przy użyciu PostgreSQL za pomocą pgAdmin. Początkowo utworzono odpowiednią bazę danych, schemat oraz tabele *GeoEon*, *GeoEra*, *GeoOkres*, *GeoEpoka*, *GeoPietro*. Każdą z tabel wypełniono odpowiednimi wartościami oraz dodano klucze obce posługując się kodem:

```
CREATE DATABASE geochronologia;

CREATE SCHEMA geo;

CREATE TABLE geo.GeoEon(
    id_eon INT PRIMARY KEY,
    nazwa_eon VARCHAR(30)
);

CREATE TABLE geo.GeoEra(
    id_era INT PRIMARY KEY,
    nazwa_era VARCHAR(30),
    id_eon INT
);

--dodanie kluczy obcych
ALTER TABLE geo.GeoEra ADD FOREIGN KEY (id_eon) REFERENCES geo.GeoEon(id_eon);
ALTER TABLE geo.GeoOkres ADD FOREIGN KEY (id_era) REFERENCES geo.GeoEra(id_era);
ALTER TABLE geo.GeoEpoka ADD FOREIGN KEY (id_okres) REFERENCES geo.GeoOkres(id_okres);
ALTER TABLE geo.GeoPietro ADD FOREIGN KEY (id_epoka) REFERENCES geo.GeoEpoka(id_epoka);

-- uzupełnianie Eonu
INSERT INTO geo.GeoEon VALUES(1, 'Fanerozoik');
SELECT * FROM geo.GeoEon;

-- uzupełnianie er
INSERT INTO geo.GeoEra VALUES(1, 'Paleozoik', 1);
INSERT INTO geo.GeoEra VALUES(2, 'Mezozoik', 1);
INSERT INTO geo.GeoEra VALUES(3, 'Kenozoik', 1);
SELECT * FROM geo.GeoEra;
```

Następnie utworzono zdenormalizowaną łączącą wszystkie powyższe tabele - *GeoTabela*.

```
-- Utworzenie tabeli zdenormalizowanej GeoTabela
CREATE TABLE GeoTabela AS
(SELECT * FROM geo.GeoPietro NATURAL JOIN geo.GeoEpoka NATURAL JOIN geo.GeoOkres NATURAL JOIN geo.GeoEra NATURAL JOIN geo.GeoEon);
SELECT * FROM GeoTabela;
```

Utworzono również tabelę pomocniczą *Dziesiec* za pomocą której utworzono tabelę z milionem rekordów *Milion*:

```
-- Tabela Milion
CREATE TABLE Milion(
    liczba INT,
    cyfra INT,
    bit INT
);

INSERT INTO Milion
SELECT a1.cyfra + 10*a2.cyfra + 100*a3.cyfra + 1000*a4.cyfra + 10000*a5.cyfra + 100000*a6.cyfra AS liczba, a1.cyfra AS cyfra, a1.bit AS bit
FROM Dziesiec a1, Dziesiec a2, Dziesiec a3, Dziesiec a4, Dziesiec a5, Dziesiec a6;
SELECT * FROM Milion WHERE ;
SELECT COUNT(*) FROM Milion;
```

Następnie wykonano te same zapytania, jak w przypadku SQL Server Management Studio. Dopasowano jednak ich składnię do PostgreSQL:

- **Zapytanie 1 (1 ZL)** polegające na złączeniu tablicy *Milion* z tabelą geochronologiczną zdenormalizowaną. Do warunku złączenia dodano operację modulo dopasowującą zakresy wartości złączanych kolumn.

```
--1 ZL
SELECT COUNT(*) FROM Milion
INNER JOIN GeoTabela ON (mod(Milion.liczba,68)=(GeoTabela.id_pietro));
```

- **Zapytanie 2 (2 ZL)** polegające na złączeniu tablicy Milion z tabelą geochronologiczną znormalizowaną.

```
--2 ZL
SELECT COUNT(*) FROM Milion
INNER JOIN geo.GeoPietro ON (mod(Milion.liczba,68)=GeoPietro.id_pietro)
NATURAL JOIN geo.GeoEpoka
NATURAL JOIN geo.GeoOkres
NATURAL JOIN geo.GeoEra
NATURAL JOIN geo.GeoEon;
```

- **Zapytanie 3 (3 ZG)** polegające na złączeniu tablicy Milion z tabelą geochronologiczną zdenormalizowaną. Złączenie jest wykonywane poprzez zagnieżdżenie skorelowane.

```
--3 ZG
SELECT COUNT(*) FROM Milion
WHERE mod(Milion.liczba,68)=
(SELECT id_pietro FROM GeoTabela WHERE mod(Milion.liczba,68)=(id_pietro));
```

- **Zapytanie 4 (4 ZG)** polegające na złączeniu tablicy Milion z tabelą geochronologiczną znormalizowaną. Złączenie jest wykonywane poprzez zagnieżdżenie skorelowane, a zapytanie wewnętrzne jest złączeniem tabel poszczególnych jednostek geochronologicznych.

```
--4 ZG
SELECT COUNT(*) FROM Milion
WHERE mod(Milion.liczba,68) IN
(SELECT geo.GeoPietro.id_pietro FROM geo.GeoPietro
NATURAL JOIN geo.GeoEpoka
NATURAL JOIN geo.GeoOkres
NATURAL JOIN geo.GeoEra
NATURAL JOIN geo.GeoEon);
```

Każde zapytanie wykonano pięciokrotnie, a następnie znaleziono średni czas obliczeń oraz minimalną wartość.

Na koniec wykonano te same testy wydajności, ale po nałożeniu indeksowania na dane:

```
--indeksy
CREATE INDEX idxEon ON geo.GeoEon(id_eon);
CREATE INDEX idxEra ON geo.GeoEra(id_era, id_eon);
CREATE INDEX idxOkres ON geo.GeoOkres(id_okres, id_era);
CREATE INDEX idxEpoka ON geo.GeoEpoka(id_epoka, id_okres);
CREATE INDEX idxPietro ON geo.GeoPietro(id_pietro, id_epoka);
CREATE INDEX idxLiczba ON Milion(liczba);
CREATE INDEX idxGeoTabela ON GeoTabela(id_pietro, id_epoka, id_era, id_okres, id_eon);
```



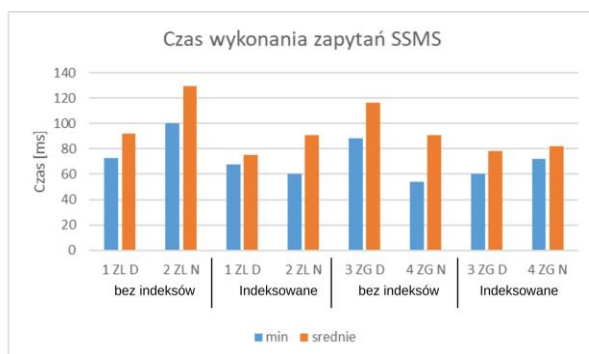
## Rozdział 4. Wyniki

Każdy test przeprowadzono pięciokrotnie. Dla otrzymanych wyników wyliczono średnią oraz minimalną wartość, a następnie zestawiono dane w tabeli (Tabela 1).

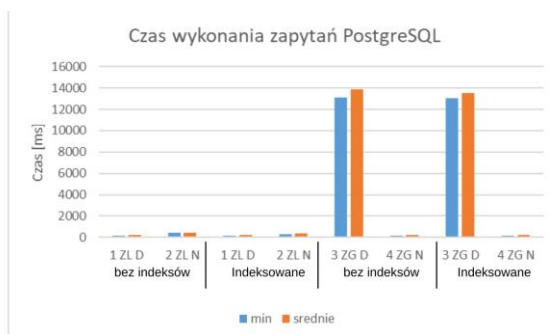
Tabela 1. Czas wykonania zapytań 1 ZL, 2 ZL, 3 ZG, 4 ZG [ms]

|                   | 1 ZL |        | 2 ZL |        | 3 ZG  |         | 4 ZG |        |
|-------------------|------|--------|------|--------|-------|---------|------|--------|
|                   | min  | średni | min  | średni | min   | średni  | min  | średni |
| brak indeksowania |      |        |      |        |       |         |      |        |
| SSMS              | 73   | 92,2   | 100  | 129,2  | 88    | 116,6   | 60   | 90,6   |
| PostgreSQL        | 165  | 221,8  | 406  | 423,6  | 13109 | 13897,6 | 163  | 222,2  |
| z indeksowaniem   |      |        |      |        |       |         |      |        |
| SSMS              | 68   | 75,2   | 60   | 90,6   | 54    | 78,6    | 72   | 82,2   |
| PostgreSQL        | 173  | 220    | 297  | 351,6  | 13030 | 13497,6 | 170  | 203,4  |

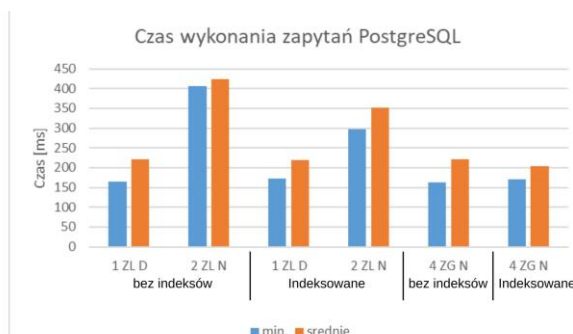
W celu ułatwienia analizy wyników z powyższych danych utworzono wykresy kolumnowe. Podzielono poszczególne zapytania ze względu na fakt indeksowania (brak indeksowania lub z indeksowaniem), normalizację danych (D – dane zdenormalizowane, N – dane znormalizowane) oraz użyty program (Wykres 5 Wykres 6). Ze względu na duży rozrzut czasu wykonania zapytań przy użyciu PostgreSQL utworzono jeszcze Wykres 7 dla lepszej wizualizacji danych.



Wykres 5. Czas wykonania zapytań SSMS.



Wykres 6. Czas wykonania zapytań PostgreSQL.



Wykres 7. Czas wykonania zapytań PostgreSQL – z pominięciem 3 ZG.

## Rozdział 5. Wnioski

Otrzymane wyniki pozwalają wyciągnąć następujące wnioski:

- Postać zdenormalizowana jest w większości przypadków wydajniejsza od postaci znormalizowanej. Wyjątek stanowi zapytanie używające zagnieżdżenia skorelowanego. Czas wykonania tego zapytania bez indeksów w SSMS był nieznacznie dłuższy dla postaci zdenormalizowanej. Przy użyciu PostgreSQL czas wykonania zapytania z zagnieżdżeniem skorelowanym był znacznie dłuższy dla postaci zdenormalizowanej, Dotyczyło to zarówno wersji z indeksami i bez indeksów.
- Przy realizacji zadania w SSMS zauważono, że czas *elapsed time* był mniejszy od *CPU time*. Jest to nietypowa sytuacja, która może wynikać ze zrównoleglenia na wątki<sup>2</sup>.
- Czas realizacji zapytań zawierających złączenia i zagnieżdżenia był podobny w SSMS. W PostgreSQL wszystkie zapytania okazały się dużo szybsze od zapytania z zagnieżdżeniem skorelowanym dla postaci zdenormalizowanej.
- Zastosowanie indeksów przyspieszyło realizację wszystkich zapytań w SSMS.
- W przypadku PostgreSQL zastosowanie indeksów minimalnie przyspieszyło realizację zapytań 1 ZL, 3 ZG, 4 ZG oraz znacznie przyspieszyło realizację zapytania 2 ZL.
- W wykonanym ćwiczeniu wszystkie zapytania zostały szybciej zrealizowane w SSMS.

Uzyskane wnioski odnoszą się jedynie do przeprowadzonego ćwiczenia. Przy realizacji innego zadania lub innej konfiguracji sprzętowej istnieje możliwość osiągnięcia innych rezultatów. Również zwiększenie liczby powtórzeń każdego testu mogłoby zwiększyć dokładność i wiarygodność uzyskanych wyników.

Podsumowując, należy zauważyć, że normalizacja prowadzi w większości przypadków do zmniejszenia wydajności i wydłużenia czasu realizacji zapytania. Nie należy jednak zapominać o zaletach normalizacji – lepszą organizację bazy danych, spadek ryzyka redundancji danych, a także możliwość zwiększenia bezpieczeństwa bazy<sup>3</sup>.

---

<sup>2</sup> *How to read SSMS active expensive query CPU time.* <https://learn.microsoft.com/en-us/answers/questions/1314811/how-to-read-ssms-active-expensive-query-cpu-time>. Dostęp: 07.06.2024.

<sup>3</sup> *Data Normalization: Definition, Importance, and Advantages.* <https://coresignal.com/blog/data-normalization/>. Dostęp: 07.06.2024.

## Rozdział 6. Literatura

*Data Normalization: Definition, Importance, and Advantages*. <https://coresignal.com/blog/data-normalization/>. Dostęp: 07.06.2024.

*How to read SSMS active expensive query CPU time*. <https://learn.microsoft.com/en-us/answers/questions/1314811/how-to-read-ssms-active-expensive-query-cpu-time>. Dostęp: 07.06.2024.

*Wydajność złączeń i zagnieżdżeń dla schematów znormalizowanych i zdenormalizowanych*. Jajeńska Ł, Piórkowski A. (2010).

## Rozdział 7. Spis tabeli i wykresów

|   |   |
|---|---|
| <i>Tabela 1. Czas wykonania zapytań 1 ZL, 2 ZL, 3 ZG, 4 ZG [ms]</i> .....   | 9 |
| <i>Wykres 1. Schemat tabeli zawierającej milion rekordów (Milion) oraz tabeli pomocniczej (Dziesięć)</i> .....        | 3 |
| <i>Wykres 2. Schemat tabeli geochronologicznej. Pominięto tu kolumnę „Piętro” ze względu na jej obszerność.</i> ..... | 3 |
| <i>Wykres 3. Schemat znormalizowanej tabeli geochronologicznej.</i> .....   | 3 |
| <i>Wykres 4. Schemat zdenormalizowanej tabeli geochronologicznej</i> .....  | 3 |
| <i>Wykres 5. Czas wykonania zapytań SSMS.</i> .....   | 9 |
| <i>Wykres 6. Czas wykonania zapytań PostgreSQL.</i> .....   | 9 |
| <i>Wykres 7. Czas wykonania zapytań PostgreSQL – z pominięciem 3 ZG.</i> .....  | 9 |